

01; 04; 12

© 1991 г.

ТЕОРИЯ СЕТОЧНЫХ КЛЮЧЕВЫХ ЭЛЕМЕНТОВ

Ф. Г. Бакшт, А. А. Костин

Теоретически исследованы стационарное проводящее состояние и переходные процессы, возникающие при подаче отрицательного сеточного импульса, в управляемом цезиевом триоде. Показано, что могут существовать два режима горения стационарного низковольтного разряда в триоде. При определенных положениях сетки в зазоре существует «гистерезис» в изменениях параметров плазмы по вольт-амперной характеристике, связанный с переходом от одних режимов к другим. Исследована зависимость характера переходного процесса от типа исходного стационарного состояния.

Введение

Изучение разряда в триодах с цезиевым наполнением при давлении цезия $p_{Cs} \approx 10^{-2} - 10^{-3}$ Тор и межэлектродном расстоянии $d = d_1 + d_2$ порядка нескольких мм (здесь d_1 — расстояние от сетки до катода, а d_2 — до анода) было стимулировано возможностью применения этих приборов в качестве высокотемпературных сеточных ключевых элементов (СКЭ). Несмотря на то что исследование физических процессов в СКЭ началось сравнительно давно (см., например, [1-4]), выполненные в этом направлении расчеты были фрагментарны и относились либо к весьма малой области анодных напряжений U_a вблизи точки гашения разряда в триоде, либо к развитому дуговому режиму, в котором плазма в катодной и анодной областях уже перешла в сильноионизованное состояние [3, 4]. Отсутствовали расчеты интересных с точки зрения приложений промежуточных участков вольт-амперной характеристики (ВАХ) триода. Не была теоретически изучена зависимость стационарного проводящего состояния от параметров прибора, величины сеточного смещения и т. п. В результате в построенной ранее теории нестационарных процессов в СКЭ [5] не была прослежена зависимость переходного процесса от характера исходного стационарного состояния.

Настоящая работа продолжает исследования [3-5] по теории СКЭ. В первой части работы излагаются результаты теоретического исследования стационарного проводящего состояния СКЭ. При этом основное внимание уделяется зависимости состояния плазмы в катодной и анодной областях от положения сетки в зазоре. Во второй части анализируются переходные процессы в СКЭ, инициируемые подачей на сетку отрицательного импульса напряжения. Прослеживается зависимость переходного процесса и, в частности, гашения или негашения разряда в триоде от типа исходного стационарного проводящего состояния.

Стационарное проводящее состояние сеточного ключевого элемента

При математическом моделировании процессов в СКЭ используется однородность плазмы в катодной и анодной областях, характерная для кнудсеновского разряда при $p_{Cs} \leq 10^{-2}$ Тор, $d \sim 1$ мм. Наличие сетки приводит к различию параметров плазмы в катодной и анодной областях, а также к возникновению в плоскости сетки скачка потенциала φ_{12} . Потенциальная диаграмма триода

в стационарном проводящем состоянии приведена на рис. 1. На этом рисунке скачок потенциала в области сетки φ_{12} тормозит электроны, идущие из катодной в анодную область разряда; в этом случае скачок потенциала φ_{12} считается отрицательным. В стационарном проводящем состоянии скачки потенциала в ленгмюровских слоях вблизи катода φ_1 , анода φ_2 и в плоскости сетки составляют единицы вольт. Электронные пучки, сформированные на катодном и сеточном скачках потенциала, при таких энергиях релаксируют за счет столкновений электронов пучка с тепловыми электронами плазмы. При характерных параметрах разряда это приводит к установлению в основной части разрядных промежутков максвелловских функций распределения электронов в существенной для ступенчатой ионизации цезия области энергий $E < 1.5$ эВ (см. рис. 3 в [3]). Рассчитанное для таких условий эффективное сечение ионизации $\sigma_* = \Gamma / n N_a \beta$, немонотонно зависит от степени ионизации плазмы $\beta = n / N_a$ [6]. Здесь n — концентрация плазмы, N_a — концентрация атомов цезия, Γ — скорость ионизации. Это приводит к тому, что даже при близких значениях электронных температур T_{e1} и T_{e2} соответственно в катодной и анодной областях разряда могут реализоваться режимы горения кнудсеновского разряда с весьма сильно различающимися значениями концентрации плазмы n_1 и n_2 . Указанное обстоятельство определяет многообразие режимов горения разряда в СКЭ.

При расчете стационарного проводящего состояния СКЭ решалась система уравнений [8], включающая в себя уравнения баланса заряженных и нейтральных частиц и уравнения баланса энергии электронов для катодной и анодной областей разряда. В результате определялись величины n_1 , n_2 , T_{e1} , T_{e2} , $N_k^{(1)}$, $N_k^{(2)}$, φ_1 , φ_2 , φ_{12} при заданных значениях анодного напряжения u_a , сеточного смещения u_{gk} , давления цезия p_{Cs} . Здесь индексы 1 и 2 отмечают параметры соответственно в катодной и анодной областях, N_k — заселенности основного ($k=0$) и возбужденных ($k=1, 2, 3, 4$) состояний атома цезия, учитываемых в дискретном спектре (подробнее см. в [6]).

Для численного решения системы стационарных уравнений применялся метод установления. Система уравнений дополнялась нестационарными членами. В качестве начальных значений, как правило, выбирались параметры плазмы, соответствующие стационарному состоянию, реализующемуся при некотором значении u_a . Новое стационарное решение определялось как асимптотическое (при $t \rightarrow \infty$) решение нестационарной системы уравнений, соответствующее скачкообразному увеличению или уменьшению напряжения u_a .

Результаты расчетов стационарного проводящего состояния приведены на рис. 2—5. Расчеты, результаты которых приведены на рис. 2—4, выполнены для следующих параметров прибора: ток эмиссии катода $j_e = 3 \text{ A/cm}^2$, давление цезия $p_{Cs} = 1.5 \cdot 10^{-2} \text{ Тор}$, сеточное смещение $u_{gk} = -2 \text{ В}$, шаг сетки $h = 250 \text{ мкм}$, диаметр витка $d_g = 50 \text{ мкм}$ (сетка решетчатая), расстояние между катодом и анодом $d = d_1 + d_2 = 0.44 \text{ см}$. Результаты, приведенные на рис. 2—5, относятся к различным значениям d_1 и d_2 , т. е. соответствуют разному положению сетки в зазоре.

Рис. 2 иллюстрирует типичный характер изменения параметров плазмы по вольт-амперной характеристике. Видно, что в зависимости от величины u_a может реализоваться один из двух режимов горения разряда. При сравнительно малых u_a ($u_a < u_a^*$) реализуются режимы с резко различающимися концентрациями плазмы в катодной и анодной областях ($n_1 \gg n_2$). Далее такие режимы

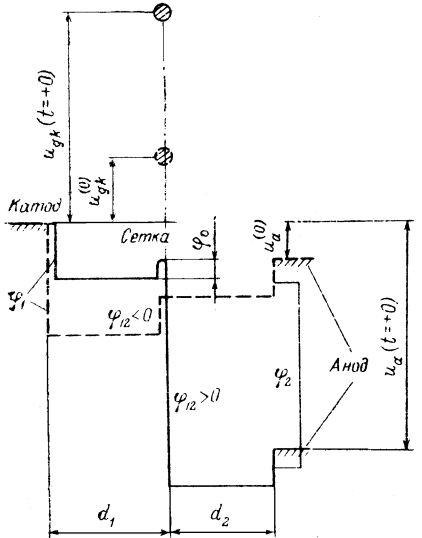


Рис. 1. Потенциальная диаграмма разряда в СКЭ в стационарном проводящем состоянии (штриховые линии) и непосредственно после подачи отрицательного импульса напряжения на сетку (сплошные линии).

щечения u_{gk} , давления цезия p_{Cs} . Здесь индексы 1 и 2 отмечают параметры соответственно в катодной и анодной областях, N_k — заселенности основного ($k=0$) и возбужденных ($k=1, 2, 3, 4$) состояний атома цезия, учитываемых в дискретном спектре (подробнее см. в [6]).

Для численного решения системы стационарных уравнений применялся метод установления. Система уравнений дополнялась нестационарными членами. В качестве начальных значений, как правило, выбирались параметры плазмы, соответствующие стационарному состоянию, реализующемуся при некотором значении u_a . Новое стационарное решение определялось как асимптотическое (при $t \rightarrow \infty$) решения нестационарной системы уравнений, соответствующее скачкообразному увеличению или уменьшению напряжения u_a .

Результаты расчетов стационарного проводящего состояния приведены на рис. 2—5. Расчеты, результаты которых приведены на рис. 2—4, выполнены для следующих параметров прибора: ток эмиссии катода $j_e = 3 \text{ A/cm}^2$, давление цезия $p_{Cs} = 1.5 \cdot 10^{-2} \text{ Тор}$, сеточное смещение $u_{gk} = -2 \text{ В}$, шаг сетки $h = 250 \text{ мкм}$, диаметр витка $d_g = 50 \text{ мкм}$ (сетка решетчатая), расстояние между катодом и анодом $d = d_1 + d_2 = 0.44 \text{ см}$. Результаты, приведенные на рис. 2—5, относятся к различным значениям d_1 и d_2 , т. е. соответствуют разному положению сетки в зазоре.

Рис. 2 иллюстрирует типичный характер изменения параметров плазмы по вольт-амперной характеристике. Видно, что в зависимости от величины u_a может реализоваться один из двух режимов горения разряда. При сравнительно малых u_a ($u_a < u_a^*$) реализуются режимы с резко различающимися концентрациями плазмы в катодной и анодной областях ($n_1 \gg n_2$). Далее такие режимы

мы будем называть режимами 1-го типа. В этих режимах в катодной области разряда образуется потенциальная яма для электронов, ограниченная барьерами φ_1 и φ_{12} . При этом падение напряжения в плоскости сетки задерживает электроны, идущие между витками сетки из катодной в анодную область разряда ($\varphi_{12} < 0$). В режимах 1-го типа плазма в анодной области слабо ионизо-

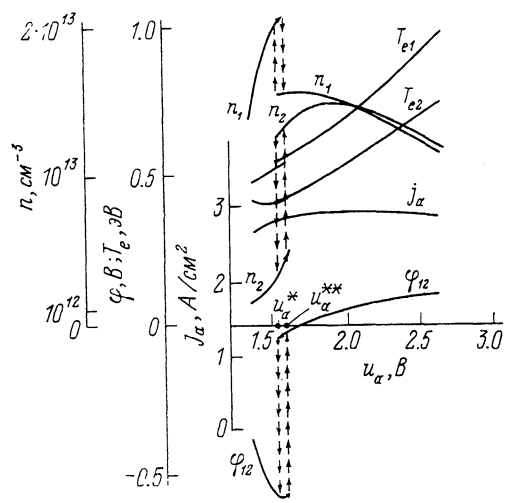


Рис. 2. Стационарное проводящее состояние СКЭ.

$d_1=0.13$ см, $d_2=0.31$ см, $u_{gk}=-2$ В.

Рис. 3. То же, что и на рис. 2.

$d_1=0.23$ см, $d_2=0.21$ см, $u_{gk}=-2$ В.

вана, в то время как в катодной области по мере увеличения напряжения плазма приближается к сильноионизованному состоянию.

В области сравнительно больших u_α ($u_\alpha > u_\alpha^*$) реализуются режимы 2-го типа с примерно одинаковыми концентрациями плазмы в катодной и анодной

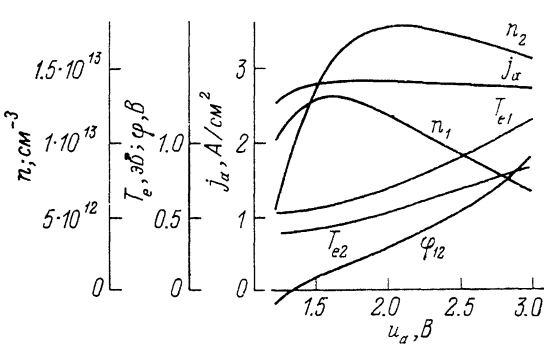
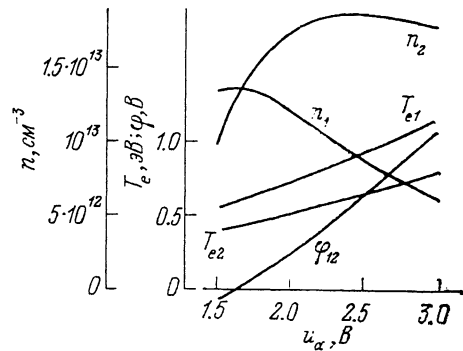


Рис. 4. То же, что и на рис. 2.

$d_1=0.1$ см, $d_2=0.34$ см, $u_{gk}=-2$ В.

Рис. 5. То же, что и на рис. 2.

$d_1=0.1$ см, $d_2=0.34$ см, $u_{gk}=-10$ В.



областях ($n_1 \approx n_2$). В этих режимах барьер φ_{12} значительно меньше по абсолютной величине и меняет знак по мере увеличения анодного напряжения, т. е. при больших u_α потенциальный барьер φ_{12} может быть ускоряющим ($\varphi_{12} > 0$) для электронов, проникающих из катодной в анодную область разряда. При изменении u_α имеет место «гистерезис» режимов, т. е. существует область напряжений $u_\alpha^* < u_\alpha < u_\alpha^{**}$, в пределах которой реализуются одновременно режимы обоих типов. Возможность существования решений различных типов, как уже

указывается, связана с особенностями механизма ионизации в кнудсеновской плазме в исследуемом диапазоне давлений p_{Cs} . Расчет показывает, что область существования решений 1-го и 2-го типов существенно зависит от положения сетки в зазоре. Перемещение сетки к аноду расширяет область двузначности решений. При этом, однако, левая и правая границы области, т. е. величины u_a^* и u_a^{**} , сдвигаются в область больших напряжений. Это иллюстрирует рис. 3, где приведены результаты аналогичных расчетов, соответствующие при том же межэлектродном расстоянии d большему расстоянию d_1 . В рассмотренном примере перемещение сетки к аноду на 0.1 см приводит к увеличению u_a^* примерно на 1 В. Значение u_a^{**} (на рис. 3 оно не показано) увеличивается более существенно.

Результаты, приведенные на рис. 4, относятся к прибору с меньшим по сравнению с рис. 2 и 3 расстоянием d_1 от катода до сетки. В этом случае режим 1-го типа исчезает (ср. рис. 2 и 4) и остается один режим 2-го типа с несильно различающимися концентрациями n_1 и n_2 и с ускоряющим (в основном) потенциальным барьером $\varphi_{12} > 0$. Исчезновение режима 1-го типа при перемещении сетки к катоду связано с уменьшением расстояния d_1 по сравнению с длиной ионизации в катодной области. В результате оказывается невозможным поддерживать такой режим горения разряда в триоде, когда основная ионизация сосредоточена в катодной плазме.

Рис. 5 иллюстрирует влияние сеточного смещения на характер распределения параметров плазмы в зазоре. Из сравнения рис. 5 и 4 видно, что при увеличении $|u_{gk}|$ характер изменения параметров плазмы при увеличении u_a в основном остается прежним. При этом увеличение $|u_{gk}|$ во многом компенсируется увеличением потенциального барьера в плоскости сетки. Точка гашения разряда в триоде при больших $|u_{gk}|$ заметно сдвигается в область больших анодных напряжений.

Были также выполнены расчеты, соответствующие большему диаметру витков сетки d_g при том же шаге h . Основным результатом здесь также является увеличение напряжения гашения разряда при увеличении d_g . Например, при $d_g = 100$ мкм ($d_1 = 0.1$ см, $d_2 = 0.34$ см, $h = 250$ мкм, $u_{gk} = -2$ В, $u_g = 2$ В (ср. с рис. 4)).

Нестационарные процессы в сеточных ключевых элементах

Основным результатом расчетов стационарного проводящего состояния является установление возможности существования двух режимов горения стационарного разряда в триоде: режимов с резко различающимися концентрациями n_1 и n_2 , характеризующихся наличием слабоионизованной плазмы в анодной области, и режимов с близкими n_1 и n_2 , характеризующихся наличием достаточно сильно ионизованной плазмы как в катодной, так и в анодной областях. Как показывает расчет, гашение разряда в режимах 1-го и 2-го типов происходит по-разному и существенно отличается амплитудами U_{g0} гасящего сеточного импульса напряжения.

Расчеты нестационарных процессов проводились для цепи, состоящей из последовательно включенных СКЭ, источника напряжения с ЭДС E_a и сопротивления нагрузки $R = (E_a - j_a^{(0)}S)/u_a^{(0)}$, где S — площадь поперечного сечения разряда, $j_a^{(0)}$ и $u_a^{(0)}$ — плотность тока в приборе и напряжение в исходном стационарном состоянии. При $t=0$ напряжение u_{gk} на сетке скачком меняется от исходной величины $u_{gk} = -2$ В до величины $u_{gk} = -U_{g0}$ и далее поддерживается постоянным. При расчете нестационарных процессов использовалась система уравнений [5].

Вначале рассмотрим нестационарный процесс в условиях, когда отрицательный импульс сеточного напряжения прикладывается к триоду, работающему в стационарном проводящем состоянии 1-го типа. Подача отрицательного импульса напряжения приводит к мгновенной (в рассматриваемом масштабе времени) перестройке потенциальной диаграммы разряда (рис. 1). При этом про-

исходит уменьшение прозрачности сетки, что приводит к начальному запиранию тока в цепи (рис. 6).

Поскольку уменьшение анодного тока обеспечивается за счет возникновения достаточно большого обратного электронного тока из катодной области плазмы на катод, то прикатодный потенциальный барьер φ_1 остается сравнительно небольшим в течение всего переходного процесса. В результате почти все напряжение u_a , приложенное к прибору, падает в плоскости сетки, т. е. барьер φ_{12} становится положительным и близким по величине к u_a . Существенно, что уменьшение тока j_a в анодной цепи в случае исходного стационарного состояния 1-го типа связано не только с увеличением толщины ленгмюровских слоев вблизи витков сетки, но и с возникновением в плоскости сетки виртуального ка-

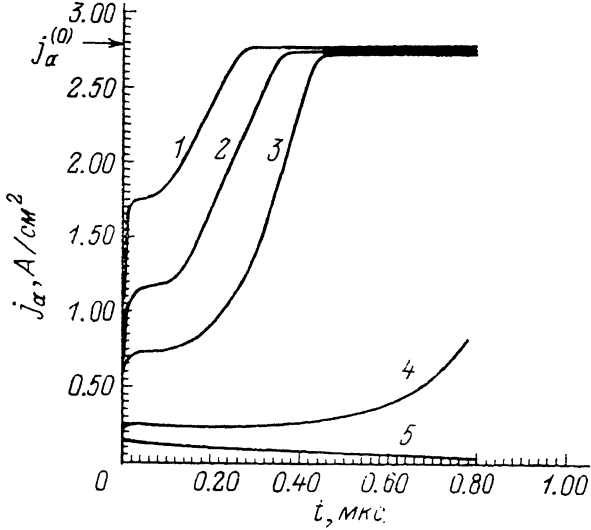


Рис. 6. Нестационарные процессы в СКЭ (исходное проводящее состояние 1-го типа).

$U_{g0} = 20$ В; 1 — 15, 2 — 20, 3 — 25, 4 — 35, 5 — 40; $d_1 = 0.18$ см, $d_2 = 0.26$ см, $E_a = 20$ В, $v_a^{(0)} = 1.5$ км/с, $j_a^{(0)} = 2.9$ А/см², $S = 1$ см.

тода, т. е. возникновением немонотонного хода потенциала между витками сетки. Соответствующий ход потенциала схематически показан на рис. 1.

Величина потенциального барьера φ_e при $q\varphi_{12} \gg T_e$ и $n_1 \gg n_2$ определяется условием Ленгмюра для протекания биполярного тока в слое пространственного заряда между катодной и анодной плазмой: $\exp(-q\varphi_e/T_{e1}) = 4 \cdot 0.61\sqrt{\pi/8} \times (n_2/n_1)\sqrt{T_{e2}/T_{e1}}$. Возникновение виртуального катода приводит к тому, что ток прибора оказывается пропорциональным ионному току j_i , текущему из анодной плазмы в сторону сетки. Таким образом, в режиме с виртуальным катодом анодный ток $j_a = \sqrt{M/m} \cdot j_i$ пропорционален концентрации ионов в анодной плазме. Как было показано (обзор соответствующих работ см. в [7]), в рассматриваемом случае при протекании нестационарного процесса в анодной области СКЭ реализуется режим низковольтного плазменно-лучкового разряда с разогревом анодной плазмы за счет столкновительного затухания ленгмюровских волн, возбуждаемых ускоренным на падении напряжения φ_{12} электронным пучком. При реализующейся в анодной области концентрации плазмы $n_2 < 10^{13}$ см⁻³ на возбуждение ленгмюровских волн и последующий разогрев анодной плазмы расходуется мощность $\approx (1/2) j_a \varphi_{12}$ [8]. В основном вложенная энергия тратится на генерацию ионов. Рассмотренный механизм разогрева плазмы в сочетании с интенсивной генерацией ионов цезия в анодной области СКЭ приводит в конечном итоге к ликвидации виртуального катода и восстановлению тока при не слишком больших U_{g0} , что иллюстрируется кривыми 1—4 на рис. 6. Параметры плазмы в исходном проводящем состоянии, соответствующем рис. 6, следующие: $n_1 = 2.4 \cdot 10^{13}$ см⁻³, $n_2 = 3.2 \cdot 10^{12}$ см, $T_{e1} = 0.52$ эВ, $T_{e2} = 0.42$ эВ.

Из рис. 6 видно также довольно резкое нарастание тока непосредственно после подачи сеточного импульса и начального запирания тока. Это связано с разогревом анодной плазмы на временах $\tau_t \sim 10^{-2}$ мкс вследствие изменения распределения потенциала в триоде. Зависимости параметров разряда от времени качественно повторяют результаты работы [5] и здесь не приводятся. Основное отличие состоит в том, что гашение разряда (ему соответствует кривая б на рис. 6) происходит при значительно большей величине U_{g0} , чем в [5]. Это связано с большей величиной тока $j_a^{(0)}$ и соответственно с большей концентрацией плазмы в исходном проводящем состоянии.

Рассмотрим теперь переходные процессы в условиях, когда исходным стационарным проводящим состоянием является режим 2-го типа. Поскольку в этом режиме еще до подачи сеточного импульса плазма в анодной области достаточно

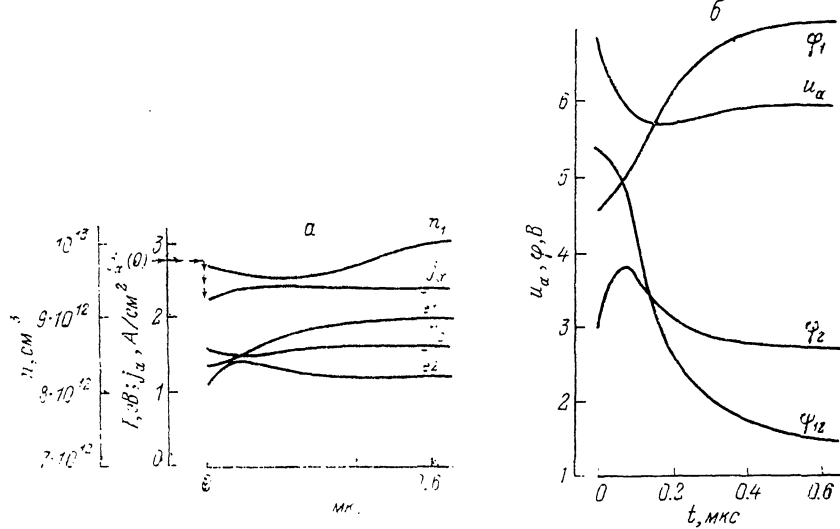


Рис. 7. Нестационарный процесс в СКЭ (исходное проводящее состояние 2-го типа).

Режим восстановления тока: $d_1 = 0.18 \text{ см}$, $d_2 = 0.26 \text{ см}$, $E_a = 20 \text{ В}$, $u_a^{(0)} = 3.5 \text{ В}$, $j_a^{(0)} = 2.78 \text{ А/см}$, $S = 1 \text{ см}^2$, $U_{g0} = 70 \text{ В}$; а — зависимости n_1, n_2, j_x, j_a от времени; б — зависимости $\varphi_1, \varphi_2, \varphi_{12}, u_a$ от времени.

сильно ионизована, то разогрев плазмы анодной области разряда не приводит к значительному увеличению концентрации n_2 и ионного тока j_s , отводимого из анодной плазмы в сторону сетки. Близость концентраций n_1 и n_2 в исходном стационарном проводящем состоянии приводит к тому, что после подачи сеточного импульса и уменьшения тока j_a в цепи в плоскости сетки практически не образуется виртуальный катод. Таким образом, в течение переходного процесса в режимах 2-го типа отсутствуют причины, которые могли бы привести к восстановлению тока в цепи в случае его значительного начального запирания. В результате характер переходного процесса определяется фактически только величиной начального запирания тока. Если начальное запирание тока скольнибудь значительно, то ток прибора, не восстанавливаясь, уменьшается до нуля и разряд гаснет.

Сказанное иллюстрируется рис. 7 и 8, на которых сравниваются зависимости от времени тока $j_a(t)$ и параметров плазмы в режимах негашения (рис. 7) и гашения (рис. 8). Оба режима, представленные на рис. 7 и 8, выбраны вблизи амплитуды сеточного импульса U_{g0} , соответствующей переходу от негашения к гашению. Как и выше, импульс сеточного напряжения является прямоугольным. Видно, что амплитуда гасящего сеточного импульса для режимов 2-го типа существенно больше, чем для режимов 1-го типа (ср. с рис. 6). Это связано с сильным экранированием сеточного потенциала вследствие увеличившейся концентрации плазмы в анодной области. Зависимость параметров анодной плазмы от времени характерна для импульсного плазменно-пучкового разряда [7]. После наложения отрицательного сеточного импульса напряжения в случае заметного уменьшения тока j_a и появления ускоряющего падения напряжения

в плоскости сетки φ_{12} в анодной плазме резко увеличивается электронная температура T_{e2} (рис. 8, а). Концентрация n_2 сильно ионизованной анодной плазмы возрастает при этом, однако, незначительно. Отсутствие механизма восстановления тока в триоде приводит к тому, что переход от негашения к гашению происходит при значительно меньшем начальном запирании тока, чем в случае режимов 1-го типа (ср. с рис. 6). Режим гашения характеризуется сильным уменьшением тока и электронной температуры с последующей рекомбинацией плазмы вначале на стенах, а затем в объеме.

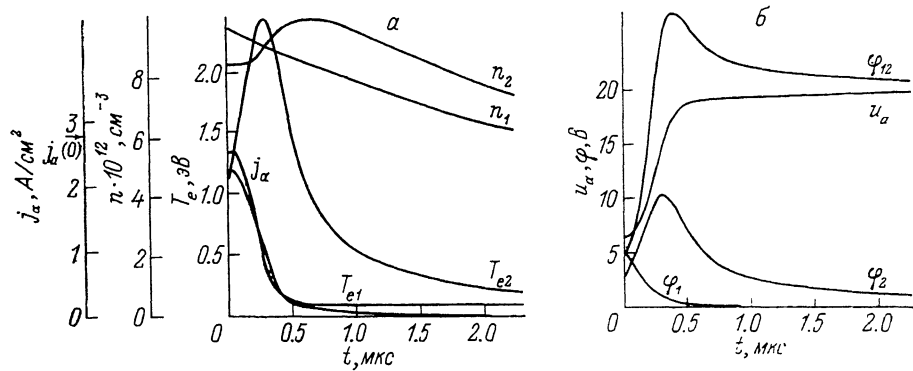


Рис. 8. То же, что и на рис. 6 (исходное проводящее состояние 1-го типа).

Режим гашения; параметры исходного проводящего состояния те же, что и на рис. 7; $U_{g0}=88$ В; а — зависимости n , T_e , j_a от времени; б — зависимости φ_1 , φ_2 , φ_{12} , u_a от времени.

В заключение перечислим основные результаты. Установлено, что могут существовать два режима горения стационарного разряда в триоде. Переход из одного режима в другой происходит скачкообразно при увеличении или уменьшении анодного напряжения u_a . При определенных положениях сетки в зазоре существует область значений u_a , в пределах которой могут реализоваться режимы как 1-го, так и 2-го типов. При этом имеет место «гистерезис» в изменении параметров плазмы по вольт-амперной характеристике. Исследована зависимость характера переходного процесса в триоде от типа исходного стационарного состояния.

Авторы благодарны Г. А. Дюжеву, А. А. Богданову, А. М. Марциновскому, В. Б. Каплану, С. М. Школьнику за обсуждение результатов работы.

Список литературы

- [1] Каплан В. Б., Макаров А. Н., Марциновский А. М. и др. // ЖТФ. 1977. Т. 47. Вып. 2. С. 274—284.
- [2] Каплан В. Б., Макаров А. Н., Марциновский А. М. и др. // ЖТФ. 1977. Т. 47. Вып. 2. С. 285—296.
- [3] Бакшт Ф. Г., Каплан В. Б., Костин А. А. и др. // ЖТФ. 1977. Т. 48. Вып. 11. С. 2273—2284.
- [4] Бакшт Ф. Г., Каплан В. Б., Костин А. А. и др. // ЖТФ. 1977. Т. 48. Вып. 11. С. 2285—2294.
- [5] Бакшт Ф. Г., Костин А. А. // ЖТФ. 1984. Т. 54. Вып. 1. С. 3—12.
- [6] Бакшт Ф. Г., Дюжев Г. А., Каплан В. Б. и др. // ЖТФ. 1977. Т. 47. Вып. 2. С. 263—273.
- [7] Бакшт Ф. Г., Колесов Б. И., Костин А. А. и др. Математическое моделирование процессов в низковольтном плазменно-лучковом разряде. М.: Энергоатомиздат, 1990. 136 с.
- [8] Азанов А. В., Бакшт Ф. Г., Колесов Б. И. и др. // Письма в ЖТФ. 1983. Т. 9. Вып. 10. С. 583—586.

Физико-технический институт
им. А. Ф. Иоффе
Санкт-Петербург

Поступило в Редакцию
14 января 1991 г.